

基础研究

Tal1 促进急性 T 淋巴白血病 Jurkat 细胞的增殖

王 毅,舒 逸,苑俊涛,陈 卉,邹 琳

重庆医科大学附属儿童医院临床分子医学中心//儿童发育疾病研究教育部重点实验室//儿科学重庆市重点实验室//重庆市儿童发育重大疾病诊治与预防国际科技合作基地,重庆 400014

摘要:目的 探讨 Tal1 对 T-ALL 细胞增殖及其机制的影响。方法 用 Tal1 慢病毒感染 T-ALL 细胞株 Jurkat, 建立稳定的 Tal1 敲降细胞株 (Jurkat-siTal1) 和 Tal1 过表达细胞株 (Jurkat-T1), 及 siRNA 阴性对照细胞 (Jurkat-mock1) 和过表达阴性对照细胞 (Jurkat-mock2)。CCK-8 检测细胞生长能力; 流式细胞术检测细胞周期; Real-time RT-PCR 和 Western blot 检测周期蛋白依赖性激酶抑制因子 2 (CDKN2A)、周期蛋白依赖性激酶抑制因子 1 (CDKN2B) mRNA 和蛋白表达。结果 成功建立 Jurkat 稳定转染细胞株。CCK8 结果表明细胞 Jurkat-T1 与 Jurkat-mock2 相比, 细胞生长更快, 而 Jurkat-siTal1 与 Jurkat-mock1 相比, 细胞生长明显减缓。流式细胞术检测细胞周期发现, Jurkat-siTal1 与 Jurkat-mock1 相比 G₀/G₁ 期增加, S 期减少; 而 Jurkat-T1 与 Jurkat-mock2 相比, G₀/G₁ 期减少, S 期增加。Real-time RT-PCR 和 Western blot 结果显示 Tal1 抑制 Jurkat 细胞内 CDKN2A、CDKN2B 的 mRNA 和蛋白表达。结论 Tal1 可以促进 T 淋巴白血病细胞 Jurkat 增殖; 促进 Jurkat 细胞由 G₀/G₁ 期向 S 期转换, 其可能通过 Tal1 抑制 G₀/G₁ 和 S 期负调控蛋白 CDKN2A、CDKN2B 的表达。

关键词: Tal1; Jurkat; 细胞周期; CDKN2A; CDKN2B

Tal1 promotes proliferation of acute lymphoblastic leukemia Jurkat cells *in vitro*

WANG Yi, SHU Yi, YUAN Juntao, CHEN Hui, ZOU Lin

Center for Clinical Molecular Medicine, Children's Hospital of Chongqing Medical University/Ministry of Education Key Laboratory of Child Development and Disorders/Key Laboratory of Pediatrics in Chongqing/Chongqing International Science and Technology Cooperation Center for Child Development and Disorders, Chongqing 400014, China

Abstract: Objective To investigate the role of Tal1 gene, which is aberrantly expressed in 40%-60% of patients with T lymphocytic leukemia (T-ALL), in the proliferation of T-ALL cells. **Methods** We established stable Jurkat-siTal1 and Jurkat-T1 cell lines by transfecting T-ALL Jurkat cells with lentiviral vectors to knock-down or overexpress Tal1. Jurkat cells transfected with negative control siRNAs for Tal1 knock-down (Jurkat-mock1) and over-expression (Jurkat-mock2) served as the control cells. The proliferation of the cells lines was assessed using CCK-8 assay, and the cell cycle distribution was determined by flow cytometry. The mRNA and protein expressions of cyclin-dependent kinase inhibitor 2 (CDKN2A) and cyclin-dependent kinase inhibitor 1 (CDKN2B) were measured by real-time RT-PCR and Western blotting, respectively. **Results** Jurkat-T1 cells showed more active proliferation *in vitro* than Jurkat-mock2 cells, while Jurkat-siTal1 cells showed slower growth than Jurkat-mock1 cells. In Jurkat-T1 cells, G₀/G₁ phase cells were decreased and S phase cells increased compared with Jurkat-mock2 cells, and Jurkat-siTal1 cells showed increased G₀/G₁ phase cells and decreased S phase cells compared with Jurkat-mock1 cells. Real-time RT-PCR and Western blotting showed that Tal1 inhibited the cellular expression of CDKN2A and CDKN2B at both mRNA and protein levels. **Conclusion** Tal1 promotes the growth and the transition from G₀/G₁ phase to S phase in T-ALL cells Jurkat by inhibiting the expressions of G₀/G₁ and S phase negative regulatory proteins CDKN2A and CDKN2B.

Key words: Tal1; T lymphocytic leukemia; cell cycle; CDKN2A; CDKN2B

白血病是儿童最常见的恶性肿瘤,严重威胁儿童健康。其中以急性淋巴细胞白血病最为常见。近年来,随着儿童白血病机制的研究和临床诊疗的发展,儿童急性 B 淋巴细胞白血病 (B-ALL) 患者的预后显著改善,其 5 年无病生存率达 90%。但急性 T 淋巴细胞白血病

(T-ALL) 生存率仅为 60%~75%, T-ALL 发生发展的具体机制亟待研究^[1]。

Tal1, 急性淋巴细胞白血病蛋白同系物 1, 是 II 类碱性/螺旋-环-螺旋 (bHLH II) 转录因子家族的重要成员^[2], 是造血过程中重要的转录因子, 其高表达占儿童 T-ALL 的 40%~60%^[3]。现有研究证实 Tal1 高表达的 T-ALL 恶性程度高, 预后不佳, 5 年生存率约为 40%^[3]。有文献报道, Tal1 可以促进 T-ALL 细胞的增殖^[4-5], 而相关机制仍不清楚。本课题组通过建立 Tal1 稳定转染的 Jurkat 细胞株, 对其机制进行初步的研究, 为后续的

收稿日期: 2015-05-22

基金项目: 国家自然科学基金 (81373444, 81570142)

Supported by National Natural Science Foundation of China (81373444, 81570142).

作者简介: 王 毅, 在读硕士研究生, E-mail: 641807153@qq.com

通信作者: 邹 琳, 研究员, 博士生导师, E-mail: zoulin74@126.com

靶向治疗提供基础。

1 材料和方法

1.1 主要试剂及药物

RPMI 1640 培养基和胎牛血清(Gibco);CCK-8 试剂(凯基);anti-Tal1 抗体(Cell Signaling)和 anti-GAPDH(北京中衫金桥);anti-CDKN2A 抗体(武汉三鹰);anti-CDKN2B(Santa Cruz);RIPA 细胞裂解液(百泰克);Trizol RNA 提取液(Takara);逆转录提取试剂盒(Takara);Tal1 过表达、Mock 和 siTal1 慢病毒载体为吉凯公司构建;SYBR Green II 试剂(Takara);引物(华大基因)。

1.2 细胞培养

人急性 T 淋巴细胞性白血病细胞 Jurkat 细胞购自美国培养物集存库(ATCC)。细胞培养于含 10% 胎牛血清,青霉素 100 U/mL 和链霉素 100 μg/mL 的 RPMI 1640 培养液中,细胞培养于 37 ℃ 5% CO₂ 条件中。

1.3 Tal1 稳定转染细胞株的建立

在细胞培养对数生长期,准备 96 孔细胞板,3000 细胞/孔;再根据 Jukat 的 MOI 值,加入 6×10⁴ U 慢病毒载体,100 μL Optimum 培养基,100 μL Enhancer,和 37 ℃ 5% CO₂ 孵箱 6 h。换 10% 胎牛血清,青霉素 100 U/mL 和链霉素 100 μg/mL 的 RPMI 1640 培养液;8 h 后行镜下荧光观察 GFP 荧光表达的细胞比例,细胞扩大培养后,有限稀释法对荧光细胞的筛选,然后扩大培养即得稳定细胞株以备进一步验证 Tal1 的表达。

1.4 CCK8 检测细胞增殖

取对数期细胞 96 孔板铺板,细胞 3000/200 μL 1640 完全培养基每孔,每 24 h 加入 10 μL CCK-8 试剂混匀 37 ℃ 5% CO₂ 孵育 3 h 后,检测 450 nm 吸光度(D₄₅₀ nm),连续监测 5 d。

1.5 细胞周期检测

将待检测细胞去血清培养,同步化处理后,取 2~5×10⁵ 细胞用 PBS 洗 2 遍,弃上清,将细胞沉淀于 70% 乙醇混匀固定 1 h,然后 450 g 离心,弃上清,PBS 洗 2 次,每次 5 min。避光加入碘化丙啶(PI)染液,暗室混匀静置 30 min,使用流式细胞仪进行检测。

1.6 Western blot 检测 Tal1、CDKN2A、CDKN2B 的表达

每 50 μL 细胞沉淀加入 250 μL RIPA 裂解液,冰上裂解 30 min,每间隔 5 min 震荡混匀 1 次。4 ℃,12 000 r/min 离心 30 min,保留上清。用 BCA 法检测蛋白浓度,加入 5×Loading Buffer 混匀后 85 ℃ 煮沸 5 min,取 20 μg 蛋白 SDS-PAGE 电泳,PVDF 膜转膜,5% 脱脂奶粉室温封闭 1 h,加入一抗(Tal1 1:700、CDKN2A 1:500、CDKN2B 1:20、GAPDH 1:20 000),4 ℃ 孵育过夜,次日加入二抗(1:5000)室温孵育 1 h,TBST 充分洗涤后,用增强化学发光系统(ECL)检测膜上信号。

1.7 SYBR 荧光定量 PCR 法检测 Tal1、CDKN2A、CDKN2B 基因 mRNA 水平

(1)Trizol 法提取细胞总 RNA;(2)RNA 逆转录为 cDNA;(3)Real-time RT-PCR:反应体系:12.5 μL SYBR II,10.5 μL ddH₂O,1 μL cDNA,上下游引物(表 1)各 0.5 μL。反应条件:95 ℃ 预变性 5 min;95 ℃ 20 s,58 ℃ 20 s,72 ℃ 30 s,循环 35 次,每个循环结束检测荧光。

表 1 引物信息

Tab.1 Sequences of the primers for RT-PCR

Primer	Forward	Reversed
Tal1	TTCCCTATGTTACACCAAA	AAGATACGCCGCACAACCTTT
CDKN2A	AGGTCATGATGATGGGCAGC	CACCAGCGTGTCAGGAAG
CDKN2B	GGGACTAGTGAGAAGGTGC	CCCATCATCATGACCTGGATCG
GAPDH	CAGCGACACCCACTCTCCACCTT	CATGAGGTCCACCACCCTGTTGCT

1.8 统计学处理

实验结果采用 SPSS17.0 统计软件进行分析,实验独立重复 3 次,所有数据统计显示方差齐,采用单因素分析,组间两两比较采用 *t* 检验,*P*<0.05 认为差异有统计学意义。

2 结果

2.1 Jurkat 稳转细胞株的建立及 Tal1 的表达鉴定

Real-time RT-PCR 和 Western Blot 检测 Tal1 在 Jurkat-siTal1、Jurkat-mock1、Jurkat-T1 和 Jurkat-mock2

中 mRNA 和蛋白表达水平。结果显示 Jurkat-siTal1 中 Tal1 的 mRNA 水平明显下降,而 Jurkat-T1 细胞中的 Tal1 mRNA 水平明显升高(*P*<0.05)。Western Blot 结果与 Real-time RT-PCR 结果一致(*P*<0.05,图 1)。

2.2 Tal1 促进 Jurkat 细胞生长

利用 CCK-8 实验连续监测 5 d Jurkat-T1、Jurkat-mock2、Jurkat-siTal1 和 Jurkat-mock1 组的 A₄₅₀ 值,结果显示 Jurkat-siTal1 细胞中 A₄₅₀ 值从第 2~5 天显著低于 Jurkat-mock1 细胞,而 Jurkat-T1 细胞的 A₄₅₀ 值从第 2~5 天显著高于 Jurkat-mock2 细胞(*P*<0.05,图 2)。

chinaXiv:201712.02127v1

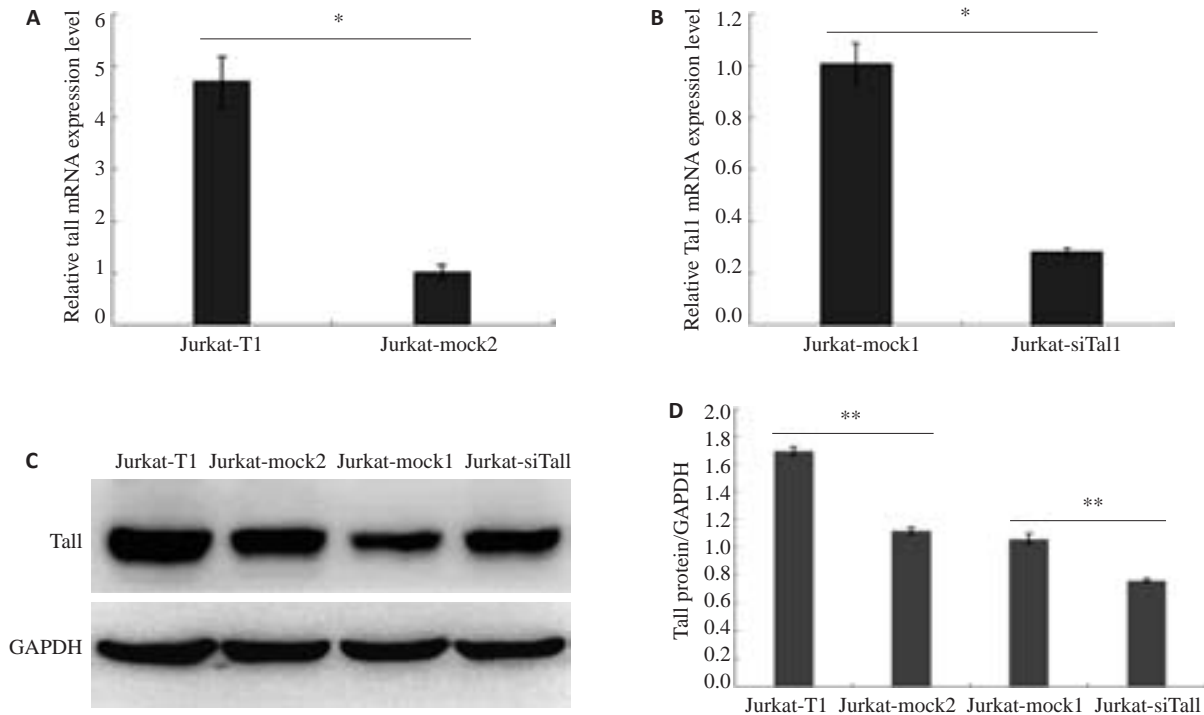


图1 Jurkat稳转细胞株的建立及Tal1的表达鉴定

Fig.1 Expression of Tal1 in Jurkat cells infected by lentivirus vectors. *A, B:* Real-time RT-PCR results for Tal1 mRNA expression standardized against GAPDH; *C:* Western blotting for Tal1 protein expression with GAPDH as the loading control. siTal1-control served as mock1 and T1-control as mock2; *D:* Statistical analysis of the protein levels in different Jurkat cells. * $P < 0.05$, ** $P \leq 0.001$.

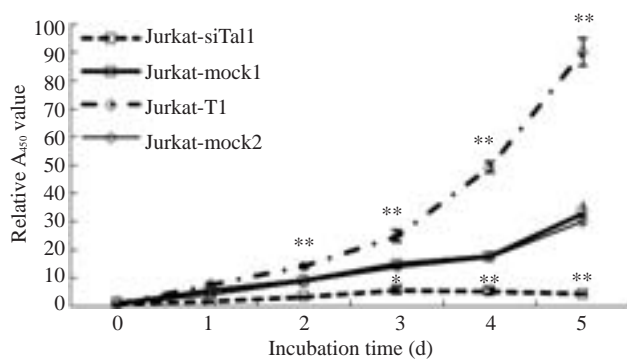


图2 Tal1促进Jurkat细胞增殖

Fig.2 Statistical graph of cell proliferation in different Jurkat cells with CCK8 assay. * $P < 0.05$ Jurkat-siTal1 vs Jurkat-mock1; ** $P \leq 0.001$ Jurkat-T1 vs Jurkat-mock2.

2.3 Tal1促进Jurkat细胞G₀/G₁期向S期转换

使用流式细胞术PI染色检测不同Jurkat稳定转染细胞株的对数生长期24h时的细胞周期,结果显示细胞周期在Jurkat-siTal1与Jurkat-mock1相比时,G₀/G₁期显著增多,而S期显著减少,说明Jurkat-siTal1组G₀/G₁期向S期的转换明显受到阻滞,而Jurkat-T1与Jurkat-mock2细胞周期相比,G₀/G₁期显著减少,而S期显著增多,说明Jurkat-T1组G₀/G₁期向S期的转换明显增加($P < 0.05$,图3)。

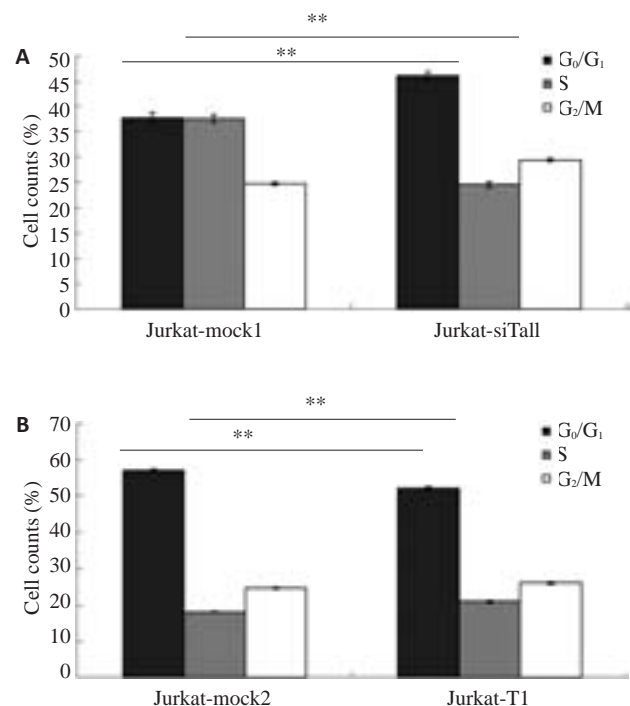


图3 Tal1促进Jurkat细胞G₀/G₁期向S期转换

Fig.3 Tal1 promotes cell cycle transition from G₀/G₁ phase to S phase in Jurkat cells. *A, B:* Statistical graph of cell cycle in different Jurkat cells. * $P < 0.05$, ** $P \leq 0.001$.

2.4 在 Jurkat 细胞中 Tal1 抑制 CDKN2A 和 CDKN2B 基因的表达

通过 Real-time RT-PCR 检测发现, Jurkat-siTal1 与 Jurkat-mock1 组相比, CDKN2A 和 CDKN2B 的 mRNA 表达水平显著增高, 而 Jurkat 细胞中 Tal1 过表达后

CDKN2A 和 CDKN2B 的 mRNA 表达水平均显著降低。通过 Western blot 检测发现 Jurkat-siTal1 组 CDKN2A 和 CDKN2B 的蛋白表达水平显著增高, Jurkat-T1 组 CDKN2A 和 CDKN2B 的蛋白表达水平显著降低 ($P < 0.05$, 图4)。

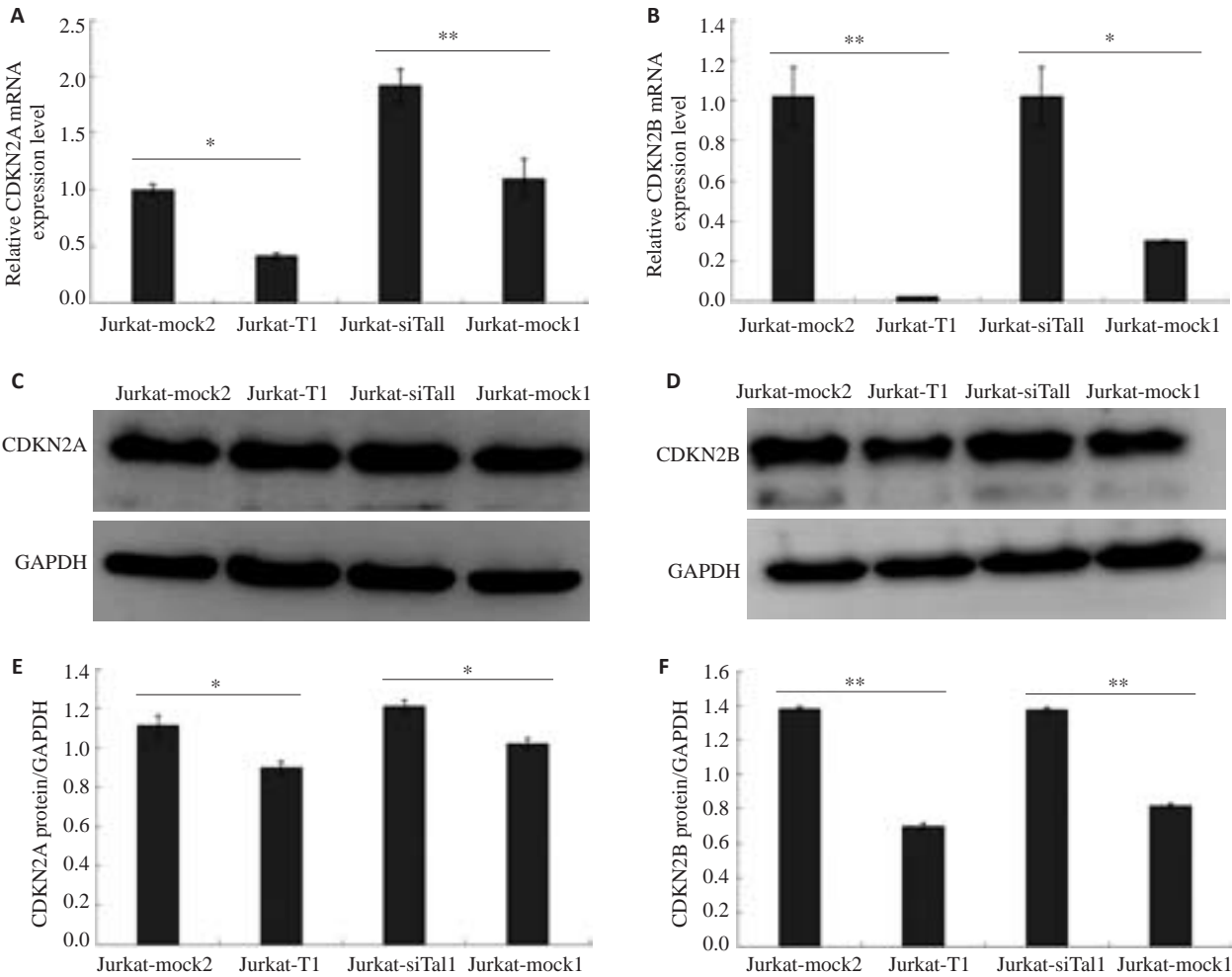


图4 Jurkat细胞中Tal1抑制CDKN2A和CDKN2B表达

Fig.4 Tal1 inhibits genes expression of CDKN2A and CDKN2B in Jurkat cells. *A, B*: Real-time RT-PCR results for CDKN2A and CDKN2B mRNA expression; *C, D*: Western blotting for CDKN2A and CDKN2B protein expression with GAPDH as control. siTAL1-control served as mock1 and T1-control as mock2; *E, F*: Statistical graph of protein level in different Jurkat cells. * $P < 0.05$. ** $P \leq 0.001$.

3 讨论

急性淋巴细胞白血病是儿童最常见的恶性肿瘤,分为急性B淋巴细胞白血病(B-ALL)和急性T淋巴细胞白血病(T-ALL),T-ALL发病率比B-ALL低,仅占ALL的15%~20%,但其预后不良^[6]。目前研究发现,在65%的T-ALL病人中发生了Tal1的异常表达,且这种异常表达经常导致染色体的易位和缺失^[7]。Tal1是 Π 类bHLH家族的一种转录因子,它在造血早期具有重要的作用^[8]。Tal1也是一种致癌基因,有文献报道Tal1的异常表达与T-ALL的不良预后密切相关^[9]。在我们的

研究中Tal1表达促进T-ALL Jurkat细胞增殖与进展,也说明Tal1与T-ALL的发生发展有密切的关系。

文献报道,Tal1过表达对一些细胞周期有促进作用^[10-13]。我们检测了Jurkat稳定转染细胞的细胞周期,发现Tal1在细胞分裂间期能够促进G₀/G₁期向S期转换。G₁期在生长因子的刺激下,CyclinD表达,并能够与CDK4、CDK6结合形成复合物,从而促进G₁期向S期的转换,而细胞内具有一组CDK抑制因子,例如CDKN2A和CDKN2B,是CDK4特异性抑制物,能够与CyclinD竞争性结合CDK4,从而抑制细胞周期G₁向S

期转换^[13-15],在我们的研究中,利用PCR和Western blot技术检测不同Jurkat稳定转染细胞株中CDKN2A和CDKN2B的表达,发现在Tal1过表达的Jurkat细胞中CDKN2A和CDKN2B表达显著降低,而在Tal1敲低组中CDKN2A和CDKN2B的表达显著升高,这些研究表明Tal1可能通过抑制CDKN2A和CDKN2B表达,来促进Jurkat细胞的增殖,为后续的研究奠定基础。

在本研究中,Jurkat-siTal1与mock1细胞株相比,CDKN2A和CDKN2B mRNA和蛋白的表达升高,而Jurkat-T1与mock2细胞株相比,CDKN2A和CDKN2B的表达下降,但mRNA水平变化明显,蛋白水平变化不是很明显,这可能是由于两个原因引起的,首先,真核基因表达的转录和翻译发生的时间存在时空间隔,mRNA达到峰值时蛋白量还在增加中;其次,在转录后又会有转录后加工、转录产物的降解、翻译、翻译后加工及修饰等,因此,转录水平和翻译水平并不完全一致。有研究者对124个T-ALL病例进行分析时发现,有64%肿瘤因为发生了CDKN2A基因重排,因此在DNA水平上其表达是缺失的;在超过60%肿瘤中CDKN2A基因在mRNA水平上也不表达^[16],这些发现说明了CDKN2A的缺失在T-ALL中具有重要作用。当然,Tal1也可能通过不同的信号通路来影响细胞的增殖。现有文献报道,Tal1在细胞内环境的作用下可以与不同的复合DNA亚基结合,引起白血病的发生。Tal1与急性髓细胞白血病1蛋白(RUNX1)和ETS1(P54)能够发生相互作用,这些转录因子是Tal1调节T细胞分化时所结合一些基因时所必需的,Tal1通过抑制T细胞分化而引起T细胞肿瘤的形成^[17]。在人类肿瘤和老鼠模型中,Tal1高表达与胸腺细胞CD4⁺CD8⁺阶段分化阻滞相关,而Jurkat细胞是CD4⁺CD8⁺T-ALL细胞,而且TAL1异常表达,在多种T-ALL分子研究中被应用^[2,5],所以在我们的研究中应用了Jurkat细胞作为研究对象。Jurkat细胞属于WT型Tal1高表达的细胞株,为了更确切的说明Tal1对T-ALL细胞增殖的影响,下一步我们还需要选择一株Tal1缺失型细胞株HPB-ALL做进一步研究。

综上所述,本文发现Tal1可以通过抑制CDKN2A和CDKN2B表达来促进Jurkat细胞的增殖。但Tal1促进Jurkat细胞增殖的机制非常复杂,其他相关机制需要进一步研究。

参考文献:

- [1] Sanda T, Lawton LN, Barrasa MI, et al. Core transcriptional regulatory circuit controlled by the TAL1 complex in human T cell acute lymphoblastic leukemia[J]. Cancer Cell, 2012, 22(2): 209-21.
- [2] Patel B, Kang Y, Cui K, et al. Aberrant TAL1 activation is mediated

by an interchromosomal interaction in human T-cell acute lymphoblastic leukemia[J]. Leukemia, 2014, 28(2): 349-61.

- [3] Look AT. Gene expression profiling in T-cell acute lymphoblastic leukemia[J]. Semin Hematol, 2003, 40(4): 274-80.
- [4] Mansour MR, Sanda T, Lawton LN, et al. The TAL1 complex targets the FBXW7 tumor suppressor by activating miR-223 in human T cell acute lymphoblastic leukemia[J]. J Exper Med, 2013, 210(8): 1545-57.
- [5] Genesca E, Ribera J, Ribera JM. Acute lymphoblastic leukemia of T progenitors: From biology to clinics[J]. Med Clin (Barc), 2015, 144(5): 223-9.
- [6] Cardoso B, Almeida SD, Laranjeira A, et al. TAL1/SCL is downregulated upon histone deacetylase inhibition in T-cell acute lymphoblastic leukemia cells[J]. Leukemi, 2011, 25(8): 1578-86.
- [7] Wilson NK, Miranda-Saavedra D, Kinston SA, et al. The transcriptional program controlled by the stem cell leukemia gene Scl/Tal1 during early embryonic hematopoietic development [J]. Blood, 2009, 113(22): 5456-65.
- [8] Kurukuti S, Saffrey P. Chromatin looping defines expression of TAL1, its flanking genes and regulation in T-ALL[J]. Blood, 2013, 122(26): 4199-209.
- [9] Benyoucef A, Calvo J, Renou L, et al. The SCL/TAL1 transcription factor represses the stress protein DDIT4/REDD1 in human hematopoietic stem/progenitor cells [J]. Stem Cells, 2015, 33(7): 2268-79.
- [10] Chagraoui H, Kassouf M, Banerjee S, et al. SCL-mediated regulation of the cell-cycle regulator p21 is critical for murine megakaryopoiesis[J]. Blood, 2011, 118(3): 723-35.
- [11] Dey S, Curtis DJ, Jane SM, et al. The TAL1/SCL transcription factor regulates cell cycle progression and proliferation in differentiating murine bone marrow monocyte precursors [J]. Mol Cell Biol, 2010, 30(9): 2181-92.
- [12] Lacombe J, Herblot S, Rojas-Sutterlin SA, et al. SCL regulates the Quiescence and the Long-Term Competence of Hematopoietic Stem Cells[J]. Blood, 2009, 114(22): 993.
- [13] Cienas J, Kalyan K, Sorokinas A, et al. Highlights of the latest advances in research on CDK inhibitors[J]. Cancers (Basel), 2014, 6(4): 2224-42.
- [14] Kumari P, Pincha N. Inhibition of non-muscle myosin II leads to G₀/G₁ arrest of Wharton's jelly-derived mesenchymal stromal cells[J]. Cytotherapy, 2014, 16(5): 640-52.
- [15] Omura-Minamisawa M, Diccianni MB, Batova A, et al. Universal inactivation of both p16 and p15 but not downstream components is an essential event in the pathogenesis of T-cell acute lymphoblastic leukemia[J]. Clin Cancer Res, 2000, 6(4): 1219-28.
- [16] Palli CG, Perez-Iratxeta C, Yao Z, et al. Differential genomic targeting of the transcriptionfactor TAL1 in alternate haematopoietic lineages[J]. EMBO J, 2011, 30
- [17] Ferrando AA, Neuberg DS, Staunton J, et al. Gene expression signatures define novel oncogenic pathways in T cell acute lymphoblastic leukemia[J]. Cancer Cell, 2002, 1(1): 75-87.

(编辑:孙昌朋)